

шетки подложки и пленки; приводит к индуцированным деформациями изменениям температуры перехода и спонтанной поляризации, знак которых зависит от значений конкретных упругих и электрострикционных констант.

Подобные эффекты были обнаружены для пленок BaTiO_3 на различных подложках [9]. В [10] показано, что если параметр решетки подложки отличается от параметра решетки пленки, а толщина пленки больше некоторого критического значения, то деформации в пленке могут частично релаксировать путем образования дислокаций несогласия. При отсутствии такой релаксации, например, для пары $\text{BaTiO}_3/\text{MgO}$ реализуется ситуация “расширения” пленки, относительная деформация пленки за счет эпитаксиального рассогласования при комнатной температуре может составлять величину порядка 5%. При такой величине деформации температура фазового перехода может возрасти до 700 К [11].

1. R. Zuleeg, H.H. Wider. // Sol. St. Electron., 9, 657 (1966).
2. David E. Sawyer. // Appl. Phys. Lett. 13, 392 (1968).
3. Hunter D., Lord K., Williams T. M., Zhang K., Pradhana A. K., Sahu D. R. and J.-L. Huang. // Appl. Phys. Lett. 2006. V. 89. P. 092102.
4. Lanzhong H., Qingzhong X., Xili G., Qun L., Qingbin Z., and Keyou Y. // Appl. Phys. Lett. 2007. V. 91. P. 212105.
5. Guo-zhen L., Kui-juan J., Jie Q., Meng H., Hui-bin L., Jie Xing, Yue-liang Z., and Guo-zhen Y. // Appl. Phys. Lett. 2007. V. 91. P. 252110.
6. Fridkin V.M. Ferroelectric semiconductors. New York: Consultants Bureau, 1980. 318 p.
7. S.V. Baryshnikov, E.V. Charnaya, A.Y. Milinskii, Y.A. Shatskaya, D. Michel. //Physics of the Solid State 54, 636 (2012).
8. C.L. Wang, Y. Xin, X.S. Wang, W.L. Zhong.// Phys. Rev. B 62, 11423 (2000).
9. K. J. Choi, M. Bięgalski, Y. L. Li, A. Sharai, J. Schubert, R. Uecker, P. Reiche, Y. B. Chen, X. Q. Pan, V. Gopalan, L.-Q. Chen, D. G. Schlom, C. B. Eom.// Science 306, 1005 (2004).
10. J.S. Speck, W. Pompe.// J. Appl. Phys. 76, 466 (1994).
11. B.-K. Lai, I.A. Kornev, L. Bellaiche, G.J. Salamo. //Appl. Phys. Lett. 86, 132 904 (2005).

МОДЕЛИРОВАНИЕ ЭЛЕКТРИЧЕСКИХ ХАРАКТЕРИСТИК ПРИБОРОВ С ТОНКИМИ ПЛЕНКАМИ ФТОРИДА КАЛЬЦИЯ НА КРЕМНИЙ-(111) С ИСПОЛЬЗОВАНИЕМ ПРОГРАММЫ MINIMOS-NT

Векслер М.И.¹, Илларионов Ю.Ю.^{1,2}, Тягинов С.Э.^{1,2}, Соколов Н.С.¹,
Федоров В.В.¹, Grasser T.²

¹Санкт-Петербург, Россия, Физико-технический институт РАН

²Вена, Австрия, Institute for Microelectronics (TU Wien)

shulekin@mail.ioffe.ru

Фторид кальция (CaF_2) – перспективный кристаллический изолятор, обладающий удачным сочетанием важнейших параметров (Рис. 1), в том числе высокими барьерами на границе CaF_2/Si и большим значением эффективной массы, что способствует снижению туннельных токов [1]. Близость постоянных решеток фторида (0.546 нм) и кремния (0.543 нм) позволяет когерентно выращивать CaF_2 на подложках Si(111) методом молекулярно-лучевой эпитаксии. Недавно удалось [2] изготовить структуры металл – диэлектрик – полупроводник (МДП) с тонкими (1-3 нм) слоями CaF_2 приборного качества, что сделало реальными применение фторида в устройствах функциональной электроники (например, резонансно-туннельных диодах $\text{CaF}_2/\text{CdF}_2/\text{CaF}_2/\text{Si}$ [3]) и возрождение идеи использования его как подзатворного изолятора в полевых транзисторах [4].

Получение высококачественных слоев CaF_2 резко повышает требования к методикам моделирования процессов переноса заряда в соответствующих структурах. Если ранее было достаточно использовать прототипы симуляторов, написанные под конкретные задачи в лабораторных условиях, то на новом этапе уже целесообразно вос-

пользоваться промышленными симуляторами, адаптируя их к новому диэлектрическому материалу. В настоящей работе используются такие всемирно признанные программы, как MINIMOS-NT и Vienna SHE [5]. Их применение является существенным шагом вперед в технике моделирования приборов на основе пленок фторида кальция.

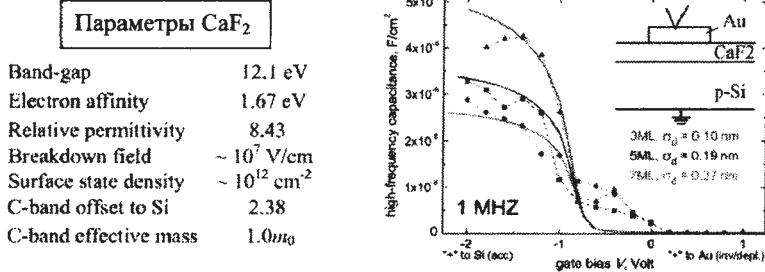


Рис. 1. Таблица параметров фторида кальция. Измеренные и рассчитанные вольтфарадные кривые структур Au/CaF₂/pSi(111) с名义ной толщиной фторида 3ML (треугольники), 5ML (квадраты) и 7ML (кружки)

Рассматриваемая в работе адаптация симулятора затрагивает два аспекта. Первый – это проблема сохранения поперечного волнового вектора электрона при туннелировании в непрямозонный полупроводник или из него, актуальная для ориентации кремния (111), но применительно к приборам с SiO₂ обычно не рассматривается должным образом. Второй аспект касается подвижности носителей на границе CaF₂/Si(111). Часть расчетных данных дополнена нашими экспериментальными результатами – детали технологии изложены в статье [2]; наиболее принципиальным моментом выступает низкая температура роста: 250 °C. Полученные пленки CaF₂ в несколько монослоев (1 ML = 0.315 нм) отличаются весьма умеренной пространственной флуктуацией толщины σ_d (Рис. 1).

Традиционным способом первичной диагностики МДП-структур является измерение и анализ вольтфарадных характеристик (ВФХ). На Рис. 1 показаны высокочастотные ВФХ структур с CaF₂ и результаты моделирования с учетом приповерхностного квантования; высота барьера на границе Au/CaF₂ положена равной 2.63 эВ. Соответствие теоретических зависимостей измеренным говорит об адекватности выбора параметров и состоятельности расчетной процедуры в целом. Некоторая деформация экспериментальных кривых связана с наличием поверхностных состояний; их плотность N_s оценивается как ~ 10¹² см⁻².

Формула для вычисления электронного туннельного тока через тонкий диэлектрик, имплементированная в симулятор, имеет вид

$$j_e = \frac{4\pi q v_{\perp} m_{\perp}}{\hbar^3} \int_{E_{c0}}^{\infty} \xi(E) (f_s(E) - f_m(E)) \int_0^E T^*(E, E_{\perp}) dE_{\perp} dE, \quad (1)$$

где m_{\perp} – масса частицы в кремнии в плоскости структуры, v_{\perp} – кратность вырождения, $\xi(E)$ – корректирующая функция, учитывающая квантование, f_m и f_s – суть функции Ферми для металла и Si, а E_{\perp} – «поперечная» часть полной энергии электрона E . Вероятность туннелирования обозначена как T^* ; звездочка указывает на отличие вероятности от той, которая непосредственно находится по квазиклассической формуле. Вообще говоря, при расчете для системы CaF₂/Si(111) сохранение поперечного волнового вектора k_{\perp} требует обращения к формулам с интегрированием по E и k_{\perp} или же предварительного усреднения вероятности туннелирования по состояниям с заданной парой E ,

E_{\perp} [2]. Оба эти способа сложны для промышленного симулятора. Поэтому предлагается эмпирическое выражение

$$T^*(E, E_s) = \exp \left[-2\hbar^{-1} \int \sqrt{2m_e(E_{cl}(z) - E + m_e m_s^{-1} E_s + m_0 m_e^{-1} \Delta E(E))} dz \right]. \quad (2)$$

Здесь m_e – масса электрона в CaF_2 , E_{cl} – энергия края зоны проводимости фторида, $\Delta E(E)$ – эффективный сдвиг энергии туннелирующих носителей, оцениваемый как $\Delta E_0 \cdot \exp(-E/E_s)$, где максимальный сдвиг ΔE_0 составляет 2.44 эВ, а E_s – подгоночный параметр, подбор которого базируется на двух упомянутых выше способах (левый Рис. 2). Оптимальным оказывается значение $E_s = 1.0$ эВ.

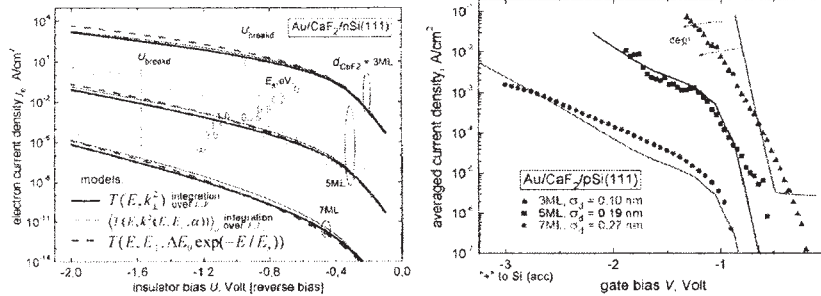


Рис. 2. Подбор параметра, характеризующего сдвиг энергии туннелирующих в Si(111) электронов. Пример расчета тока утечки через МДП-структурку с CaF_2 , в сопоставлении с экспериментальными данными

На Рис. 2, справа, аккумуляционные ветви МДП-структур на p-Si, рассчитанные с помощью симулятора MINIMOS-NT, сопоставлены с данными измерений. Рассматривался обычный МДП-конденсатор, а не транзистор промышленной конфигурации. Можно констатировать неплохое согласие соответствующих кривых.

Имея в виду перспективы применения CaF_2 в полевом транзисторе (MISFET), мы выполнили расчет выходных характеристик (ток стока в зависимости от напряжения сток-исток, I_dV_d) транзистора со слоем фторида. Сначала в качестве «опорного» прибора был взят MISFET компании imtec с длиной затвора 65 нм и подзатворным слоем SiON. Его архитектура была смоделирована с использованием симулятора технологических процессов Sentaurus Process [6]. Для расчета I_dV_d характеристик данного транзистора симулятор MINIMOS-NT был откалиброван так, чтобы воспроизвести экспериментальные I_dV_d - и I_dV_g -кривые. Для учета снижения подвижности из-за эффектов квантования и рассеяния использована модель Хенша [5, 7]. Расчет I_dV_d -характеристик MISFET'a с CaF_2 проведен аналогично с заменой параметров SiON на значения для CaF_2 .

Наличие состояний с достаточно высокой концентрацией N_{it} на интерфейсе с фторидом приводит к заметному снижению подвижности носителей в канале. Данный эффект описывается стандартной моделью, уже имплементированной в MINIMOS-NT [8]:

$$\tilde{\mu} = \frac{\mu_0}{1 + \alpha N_{it} \exp(-r/r_{ref})}, \quad (3)$$

где μ_0 – подвижность при идеальной границе, а α и r_{ref} – параметры, определяющие величину эффекта и длину, на которой носитель, находящийся на расстоянии r от интерфейса, «чувствует» ловушку. Пример расчета I_dV_d -характеристик транзисторов на основе традиционных диэлектриков SiO_2 , SiON и изучаемого материала – CaF_2 – приведен на Рис. 3.

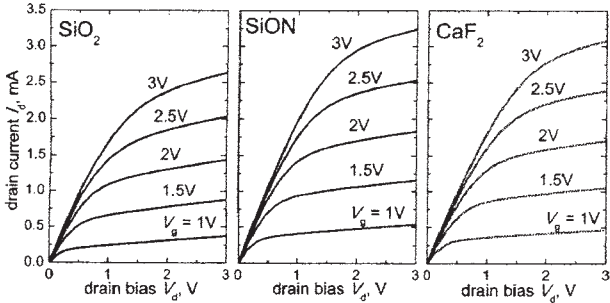


Рис. 3. Пример расчета семейств выходных характеристик транзисторов идентичной архитектуры, отличающихся выбором подзатворного диэлектрика (SiO_2 , SiON и CaF_2). Толщина диэлектрика 2.5 нм

Транзистор с CaF_2 по новой технологии пока не изготовлен. Однако это не является чем-то малореальным: уже в статье [4] сообщалось о получении MISFET'ов с фторидом, хотя качество роста в то время было явно ниже. Преимущества фторида как элемента MISFET ранее обсуждались и в контексте создания трехмерных интегральных схем, так как поверх CaF_2 могут быть выращены слои Si и силицидов.

Таким образом, в работе были впервые проведена имплементация «опции CaF_2 » в промышленный симулятор. Теперь возможен расчет с этим перспективным диэлектриком на том же математическом уровне, что и с другими материалами, используемыми в современной микрэлектронике. При этом существенная часть расчетных результатов подкреплена измерениями, которые иллюстрируют прогресс в технологии фторида.

1. W. Hayes [eds.], "Crystals with the fluorite structure..." – Oxford: Clarendon (1974).
2. Y.Y. Illarionov, M.I. Vexler, S.M. Suturin et al., *Microelectr. Eng.* 88 (2011) 1291.
3. M. Watanabe, T. Funayama, T. Teraji, N. Sakamaki, *Jpn. J. Appl. Phys.* 39 (2000) L716.
4. T.P. Smith, P.J. Stiles, J.M. Phillips, W.M. Augustyniak, *Appl. Phys. Lett.* 45 (1984) 907.
5. Institute for Microelectronics, TU Wien, MINIMOS-NT Device and Circuit Simulator.
6. Synopsis, Sentaurus Process, Advanced Simulator for Process Technologies.
7. S. Selberherr, W. Haensch, M. Seavey, J. Slotboom, *Solid State Electron.* 33 (1990) 1425.
8. S. Tyaginov et al., in "Silicon Nitride, Silicon Dioxide, and Emerging Dielectrics", *ECS Trans.* (2011)

321.

АНТЕННЫЕ ЭЛЕМЕНТЫ НА ОСНОВЕ МНОГОСЛОЙНЫХ ДИЭЛЕКТРИЧЕСКИХ СТРУКТУР

Волошин А.А., Руда Н.А., Прокопенко Ю.В., Поплавко Ю.М.
Киев, Украина, Национальный технический университет Украины «Киевский
Политехнический Институт»
poplavko@voliacable.com

Стремительное развитие и миниатюризация средств мобильной связи усилило интерес к антенным системам, способным легко размещаться в корпусе любой формы и размера. В то же время использование нескольких стандартов беспроводной связи в одном устройстве приводит к увеличению числа поддерживаемых частотных диапазонов. Исходя из этих требований, появляется необходимость в проектировании многодиапазонных или перестраиваемых антенн малых размеров.

Двумя наиболее подходящими кандидатами на роль такого типа антенн являются